

Jakub Mielczarek    203943    203943@edu.p.lodz.pl  
Łukasz Gołębiowski    203882    203882@edu.p.lodz.pl

## Zadanie 3.: Klasyfikacja

### 1. Cel

Celem zadania jest rozwiązanie problemu poprawnej klasyfikacji wskazanych zbiorów danych z wykorzystaniem narzędzi inteligentnej analizy danych, w tym perceptronu wielowarstwowego. Dodatkowo należało przeprowadzić analizę wyników uczenia za pomocą macierzy konfuzji, przedstawić graficznie przebieg uczenia perceptronu, wykorzystać inny biblioteczny algorytm klasyfikacji oraz dokonać ekstrakcji cech zbioru danych przed rozpoczęciem nauki perceptronu. Zbiory danych na których uczono perceptron to "Iris dataset" zawierający opis czterech wymiarów 150 kwiatów z podziałem na gatunek oraz "MNIST dataset" zawierający 60000 obrazków w skali szarości 28x28 pikseli przedstawiających ręcznie napisane cyfry od zera do dziewięciu wraz z informacją o tym jaka cyfra znajduje się na obrazku. Dodatkowo jest oddzielny zbiór testowy zawierający 10000 obrazków.

### 2. Opis implementacji

Implementacja została wykonana w języku Java. Zgodnie z wymaganiami zadania dodane zostały funkcje umożliwiające wyliczenia macierzy konfuzji. Dodatkowy inny klasyfikator zamiast perceptronu to algorytm drzewa decyzyjnego pochodzącego z biblioteki Apache Spark (pakiet mllib). W celu ekstrakcji cech z obrazków użyto algorytmu HOG (Histogram of Oriented Gradients) z biblioteki openCV. Za pomocą programu gnuplot rysowane są wykresy przebiegu uczenia perceptronu. W stosunku do bazowego projektu z poprzedniego zadania z implementacją perceptronu wielowarstwowego dodane zostały następujące klasy:

- ConfusionMatrix.java - klasa odpowiedzialna za wyliczania macierzy konfuzji.
- HogManager.java - klasa odpowiedzialna za ekstrakcję cech za pomocą HOG z użyciem openCV.
- IdxManager.java - klasa odpowiedzialna za ekstrakcję danych z formatów \*idx w których znajdowały się dane z jasnościami pikseli obrazków.

Dodatkowo klasa ta opakowuje odczytane dane, została zserializowana dzięki czemu nie trzeba za każdym razem prasować plików z danymi a jedynie odczytać zdeserializowany obiekt.

- SubsetManager.java - klasa umożliwiająca podzielenie zbioru danych na zbiór testowy i treningowy.

### 3. Materiały i metody

Pierwsza część badawcza polega na nauce perceptronu i drzewa decyzyjnego w celu klasyfikacji gatunków irysów. W rozważanych przypadkach brany jest pod uwagę wpływ na naukę takich parametrów jak ilość epok, czas uczenia, ilość neuronów w warstwach ukrytych, podział na zbiór testowy i treningowy.

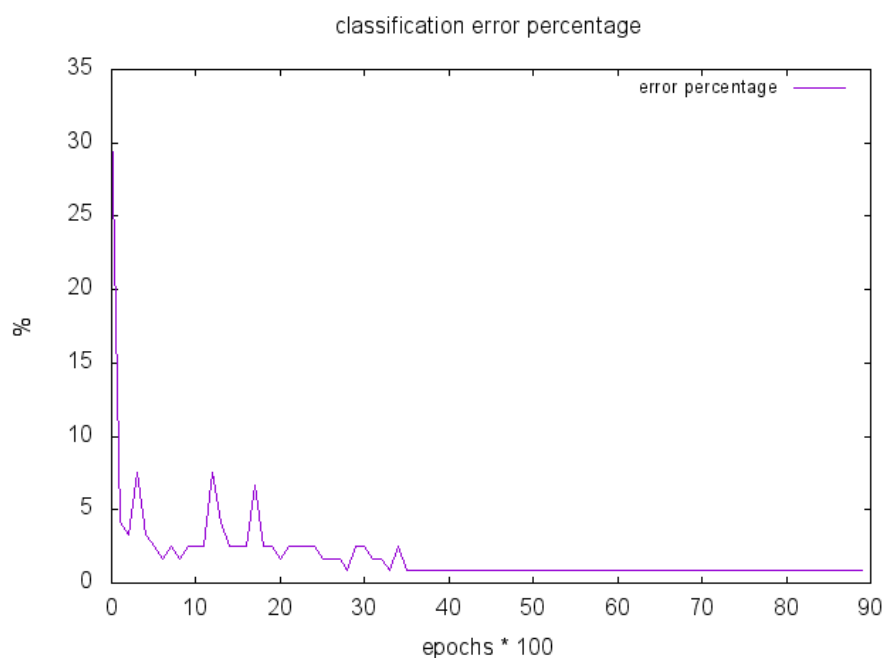
Druga część badawcza polega na nauce perceptronu i drzewa decyzyjnego w celu klasyfikacji obrazków z MNIST dataset. Badany jest wpływ na naukę takich parametrów jak zastosowanie ekstrakcji cech, ilość epok, ilość neuronów w warstwach ukrytych, czas uczenia.

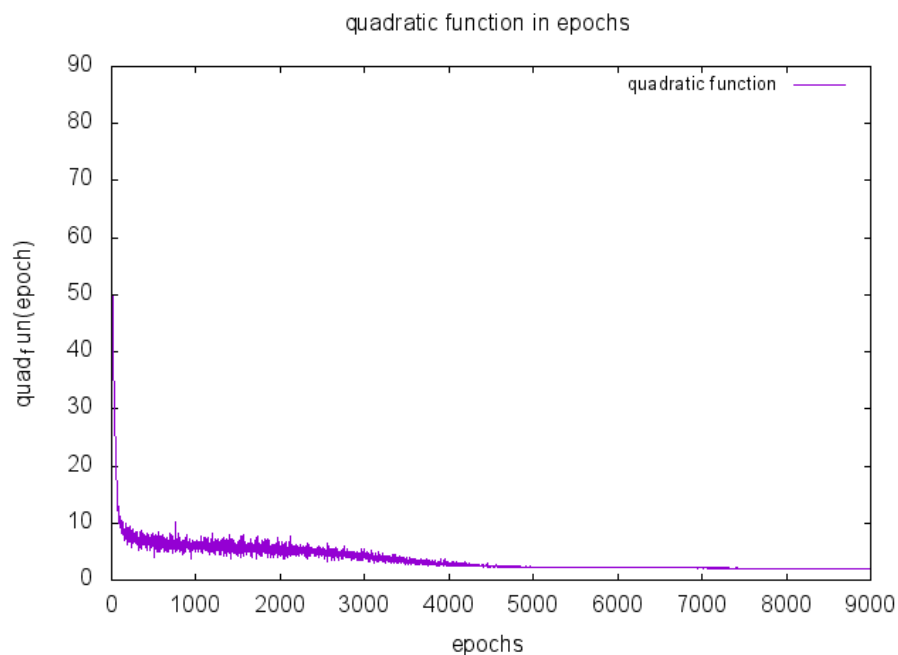
W przypadku pierwszej części zbiór danych na zbiór testowy i treningowy był dzielony losowo. W drugiej części wykorzystano przygotowanie oddzielnie zbiory danych treningowych i testowych.

### 4. Wyniki

#### 4.1. Część badawcza 1: Iris dataset

(P1) Dane wejściowe: perceptron 4-12-3, bias, learning rate = 0.01, momentum = 0.8, ilość epok = 9000, dane treningowe: 80% losowo





Macierz konfuzji dla zbioru testowego:

Klasa: iris-setosa TP: 9 FN: 0 FP: 0 TN: 21

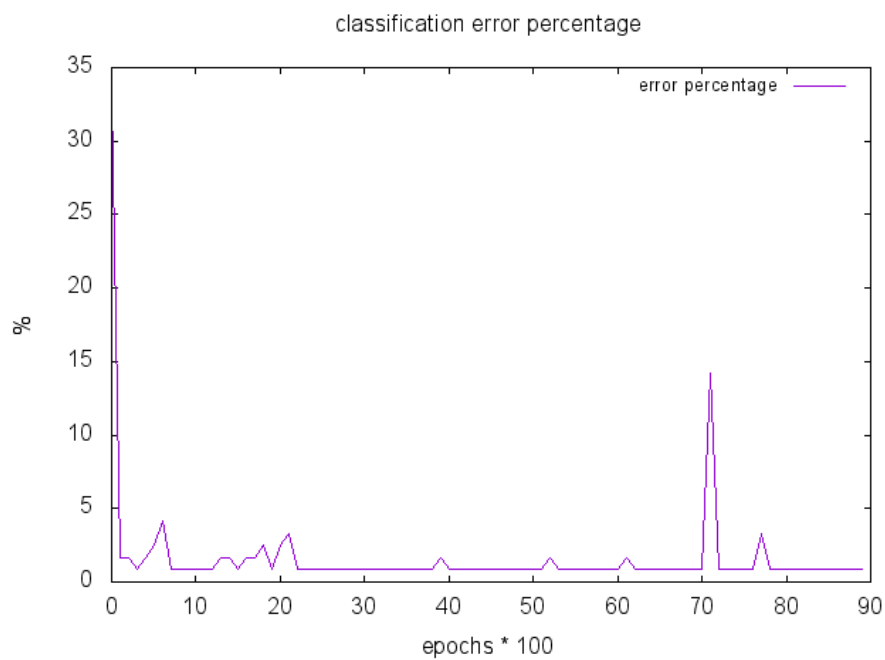
Klasa: iris-versicolor TP: 12 FN: 0 FP: 0 TN: 18

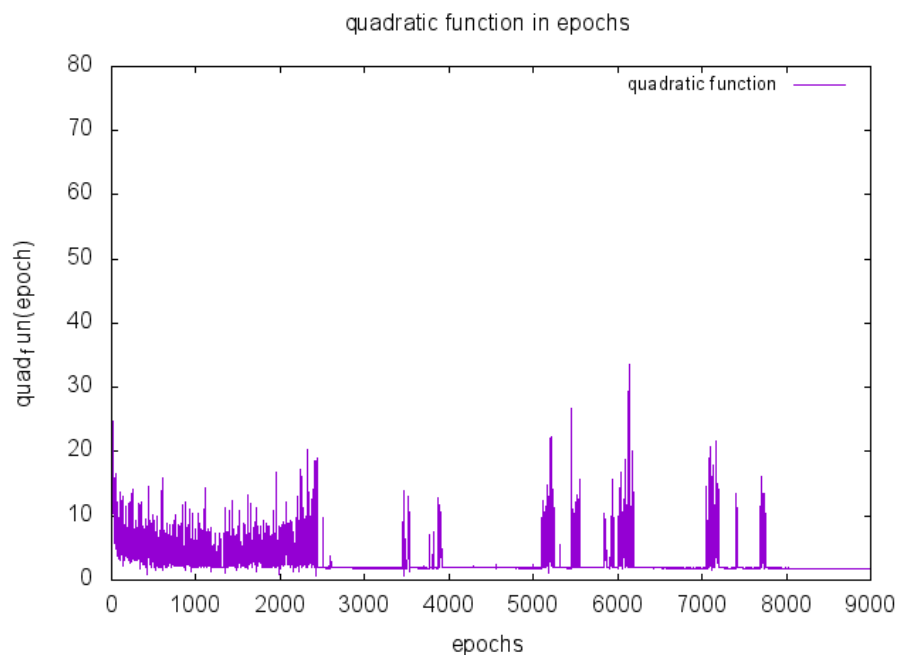
Klasa: iris-virginica TP: 9 FN: 0 FP: 0 TN: 21

Suma: TP: 30 FN: 0 FP: 0

Czas uczenia: 1.828s

(P2) Dane wejściowe: Jak w P1 ale learning rate = 0.5, momentum = 0.5





Macierz konfuzji dla zbioru testowego:

Klasa: iris-setosa TP: 12 FN: 0 FP: 0 TN: 18

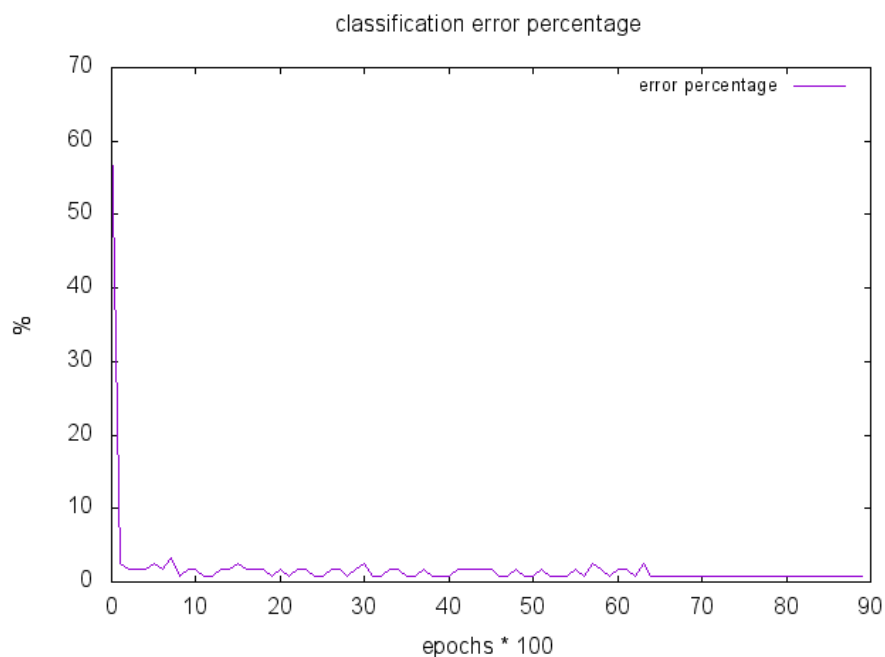
Klasa: iris-versicolor TP: 8 FN: 2 FP: 0 TN: 20

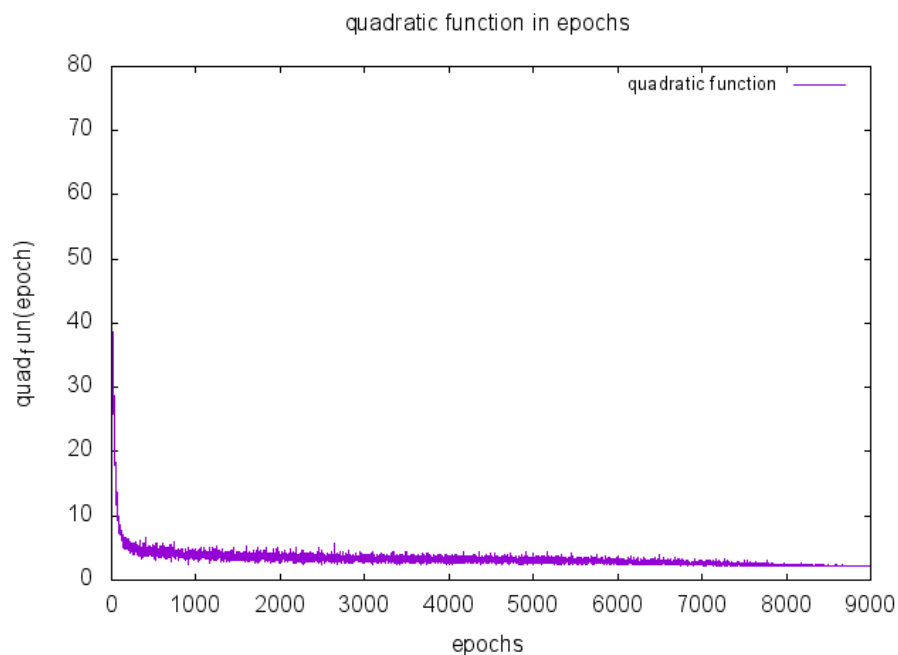
Klasa: iris-virginica TP: 8 FN: 0 FP: 2 TN: 20

Suma: TP: 28 FN: 2 FP: 2

Czas uczenia: 1.797s

(P3) Dane wejściowe: Jak w P1 ale dla perceptronu 4-100-3





Macierz konfuzji dla zbioru testowego:

Klasa: iris-setosa TP: 10 FN: 0 FP: 0 TN: 20

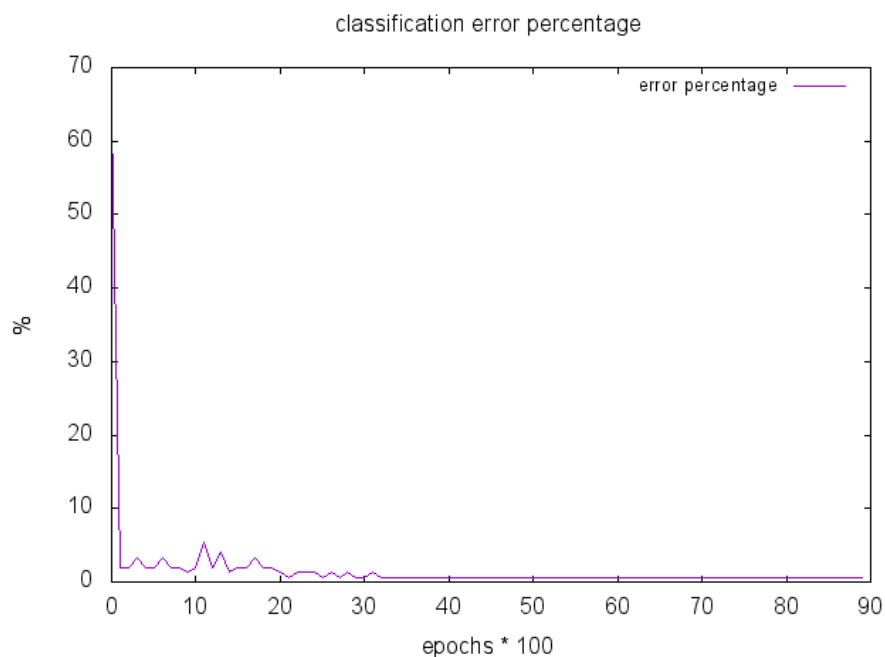
Klasa: iris-versicolor TP: 9 FN: 1 FP: 0 TN: 20

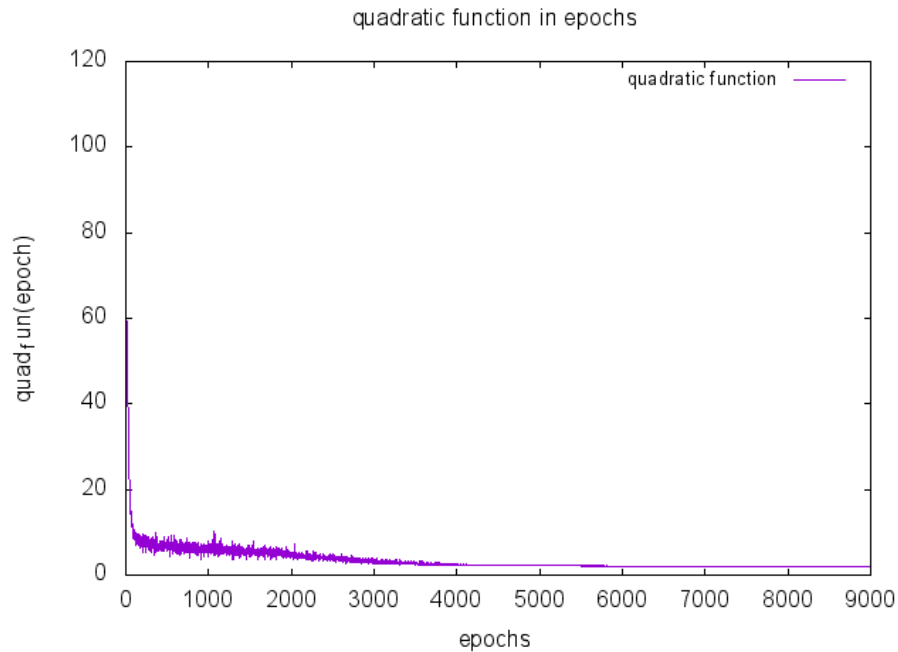
Klasa: iris-virginica TP: 10 FN: 0 FP: 1 TN: 19

Suma: TP: 29 FN: 1 FP: 1

Czas uczenia: 11.364s

(P4) Dane wejściowe: Jak w P1 ale tylko zbiór treningowy (100%)





Macierz konfuzji dla zbioru treningowego:

Klasa: iris-setosa TP: 50 FN: 0 FP: 0 TN: 100

Klasa: iris-versicolor TP: 49 FN: 1 FP: 0 TN: 100

Klasa: iris-virginica TP: 50 FN: 0 FP: 1 TN: 99

Suma: TP: 149 FN: 1 FP: 1

Czas uczenia: 2.243s

(P5) Drzewo decyzyjne Apache Spark. Dane wejściowe: zbiór danych treningowych 80% losowo, maxDepth = 10, maxBins = 32, impurity = "gini"

Macierz konfuzji dla zbioru testowego:

Klasa: iris-setosa TP: 12 FN: 0 FP: 0 TN: 18

Klasa: iris-versicolor TP: 9 FN: 1 FP: 0 TN: 20

Klasa: iris-virginica TP: 8 FN: 0 FP: 1 TN: 21

Suma: TP: 29 FN: 1 FP: 1

Czas uczenia: 1.133s

Błąd drzewa decyzyjnego: 0.033

```

DecisionTreeModel classifier of depth 6 with 17 nodes
  If (feature 2 <= 1.9)
    Predict: 0.0
  Else (feature 2 > 1.9)
    If (feature 2 <= 4.8)
      If (feature 3 <= 1.6)
        Predict: 1.0
      Else (feature 3 > 1.6)
        If (feature 1 <= 3.0)
          Predict: 2.0
        Else (feature 1 > 3.0)
          Predict: 1.0
    Else (feature 2 > 4.8)
      If (feature 3 <= 1.7)
        If (feature 1 <= 2.6)
          Predict: 2.0
        Else (feature 1 > 2.6)
          If (feature 2 <= 5.0)
            Predict: 1.0
          Else (feature 2 > 5.0)
            If (feature 0 <= 6.0)
              Predict: 1.0
            Else (feature 0 > 6.0)
              Predict: 2.0
      Else (feature 3 > 1.7)
        Predict: 2.0

```

(P6) Drzewo decyzyjne Apache Spark. Dane wejściowe jak w P5 ale tylko zbiór treningowy (100%)

Macierz konfuzji dla zbioru treningowego:

Klasa: iris-setosa TP: 50 FN: 0 FP: 0 TN: 100

Klasa: iris-versicolor TP: 50 FN: 0 FP: 0 TN: 100

Klasa: iris-virginica TP: 50 FN: 0 FP: 0 TN: 100

Suma: TP: 150 FN: 0 FP: 0

Czas uczenia: 1.233s

Błąd drzewa decyzyjnego: 0.0

```

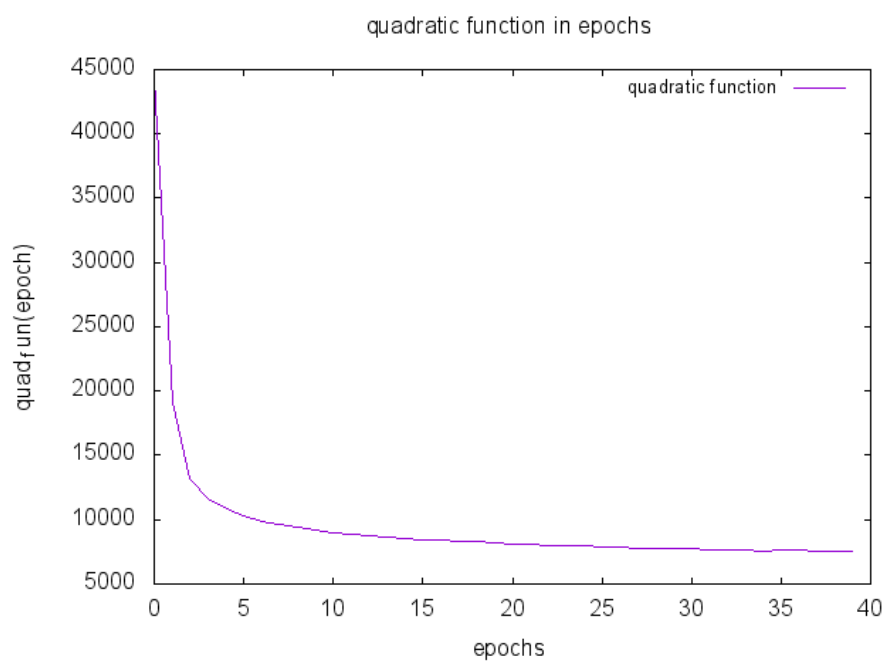
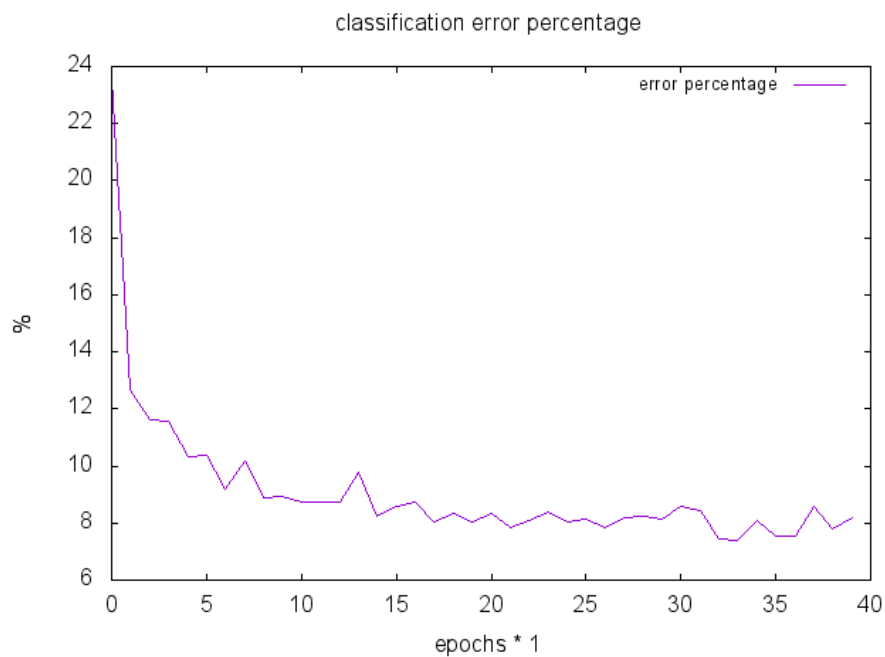
DecisionTreeModel classifier of depth 5 with 17 nodes
  If (feature 2 <= 1.9)
    Predict: 0.0
  Else (feature 2 > 1.9)
    If (feature 3 <= 1.7)
      If (feature 2 <= 4.9)
        If (feature 3 <= 1.6)
          Predict: 1.0
        Else (feature 3 > 1.6)
          Predict: 2.0
      Else (feature 2 > 4.9)
        If (feature 3 <= 1.5)
          Predict: 2.0
        Else (feature 3 > 1.5)
          If (feature 0 <= 6.7)
            Predict: 1.0
          Else (feature 0 > 6.7)
            Predict: 2.0
      Else (feature 3 > 1.7)
        If (feature 2 <= 4.8)
          If (feature 0 <= 5.9)
            Predict: 1.0
          Else (feature 0 > 5.9)
            Predict: 2.0
        Else (feature 2 > 4.8)
          Predict: 2.0

```

#### 4.2. Część badawcza 2: MNIST dataset

(P7) Dane wejściowe 60000 obrazków treningowych, 10000 tysięcy obrazków testowych, normalizacja danych wejściowych do przedziału  $[0;1]$ , perceptron 784-15-10, bias, learning rate = 0.01, momentum = 0.2, ilość epok = 40



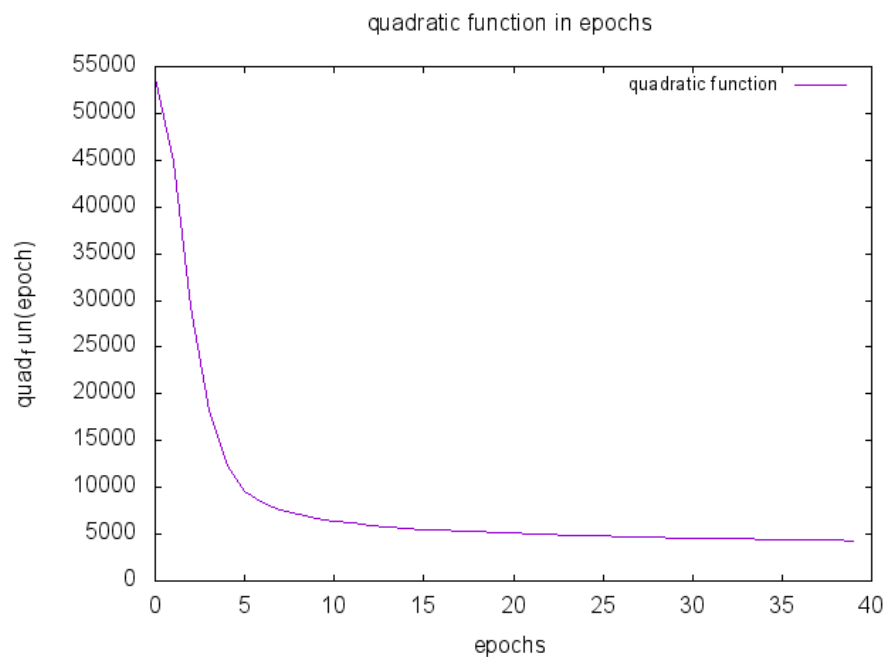
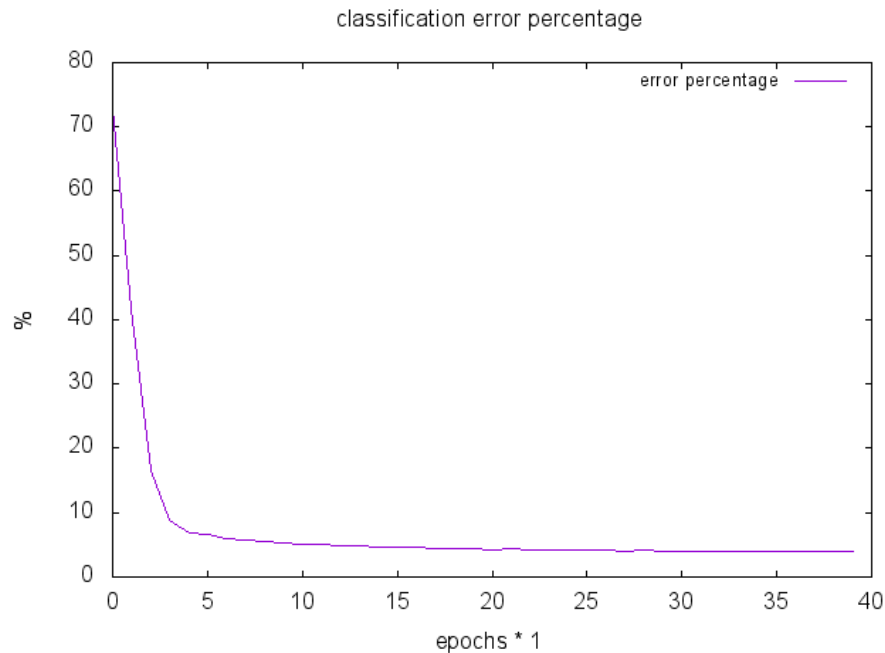


Macierz konfuzji dla zbioru testowego:

Klasa: 0 TP: 946 FN: 34 FP: 54 TN: 8966  
 Klasa: 1 TP: 1107 FN: 28 FP: 51 TN: 8814  
 Klasa: 2 TP: 943 FN: 89 FP: 89 TN: 8879  
 Klasa: 3 TP: 883 FN: 127 FP: 72 TN: 8918  
 Klasa: 4 TP: 895 FN: 87 FP: 77 TN: 8941  
 Klasa: 5 TP: 709 FN: 183 FP: 45 TN: 9063  
 Klasa: 6 TP: 921 FN: 37 FP: 85 TN: 8957  
 Klasa: 7 TP: 910 FN: 118 FP: 35 TN: 8937  
 Klasa: 8 TP: 902 FN: 72 FP: 204 TN: 8822

Klasa: 9 TP: 933 FN: 76 FP: 139 TN: 8852  
Suma: TP: 9149 FN: 851 FP: 851  
Czas uczenia: 192.194s

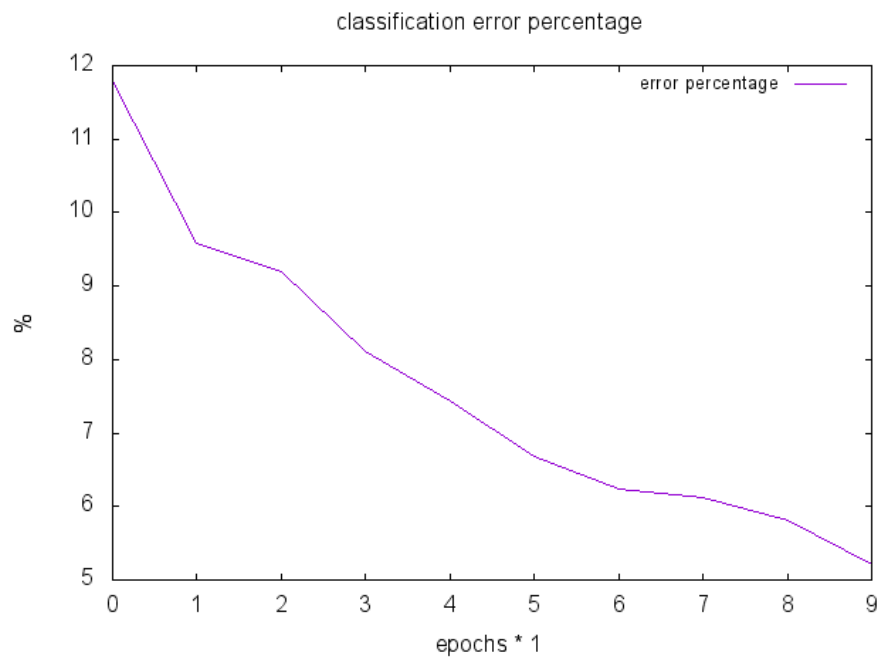
(P8) Dane jak w P7 ale zastosowano ekstrakcję cech HOG przez co perceptron miał postać 81-15-10 oraz nie normalizowano danych wejściowych dla zbioru treningowego.

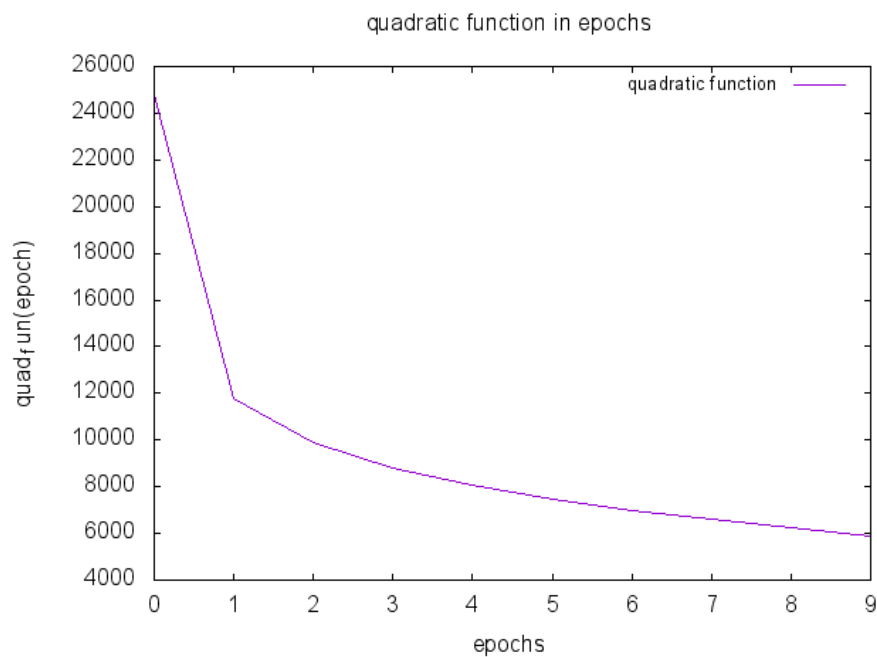


Macierz konfuzji dla zbioru testowego:  
Klasa: 0 TP: 969 FN: 11 FP: 19 TN: 9001  
Klasa: 1 TP: 1108 FN: 27 FP: 19 TN: 8846

Klasa: 2 TP: 1008 FN: 24 FP: 35 TN: 8933  
Klasa: 3 TP: 978 FN: 32 FP: 70 TN: 8920  
Klasa: 4 TP: 937 FN: 45 FP: 44 TN: 8974  
Klasa: 5 TP: 867 FN: 25 FP: 22 TN: 9086  
Klasa: 6 TP: 936 FN: 22 FP: 18 TN: 9024  
Klasa: 7 TP: 989 FN: 39 FP: 45 TN: 8927  
Klasa: 8 TP: 929 FN: 45 FP: 49 TN: 8977  
Klasa: 9 TP: 926 FN: 83 FP: 32 TN: 8959  
Suma: TP: 9647 FN: 353 FP: 353  
Czas uczenia: 34.176s  
Czas ekstrakcji cech: 5.214s

(P9) Dane jak w P7 ale w warswie ukrytej użyto 150 neuronów.





Macierz konfuzji dla zbioru testowego:

Klasa: 0 TP: 967 FN: 13 FP: 55 TN: 8965

Klasa: 1 TP: 1105 FN: 30 FP: 13 TN: 8852

Klasa: 2 TP: 966 FN: 66 FP: 55 TN: 8913

Klasa: 3 TP: 956 FN: 54 FP: 88 TN: 8902

Klasa: 4 TP: 930 FN: 52 FP: 57 TN: 8961

Klasa: 5 TP: 786 FN: 106 FP: 26 TN: 9082

Klasa: 6 TP: 917 FN: 41 FP: 52 TN: 8990

Klasa: 7 TP: 972 FN: 56 FP: 44 TN: 8928

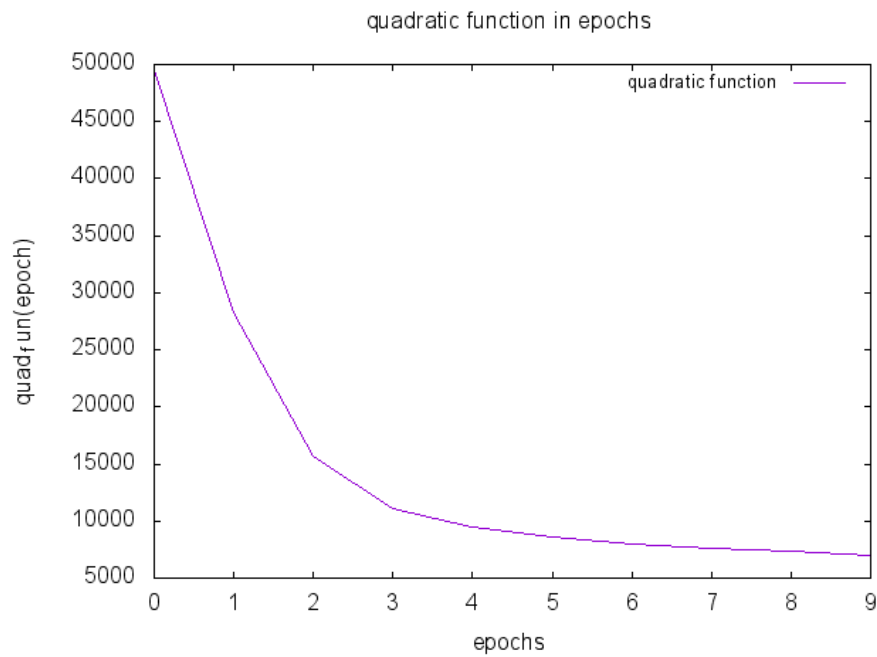
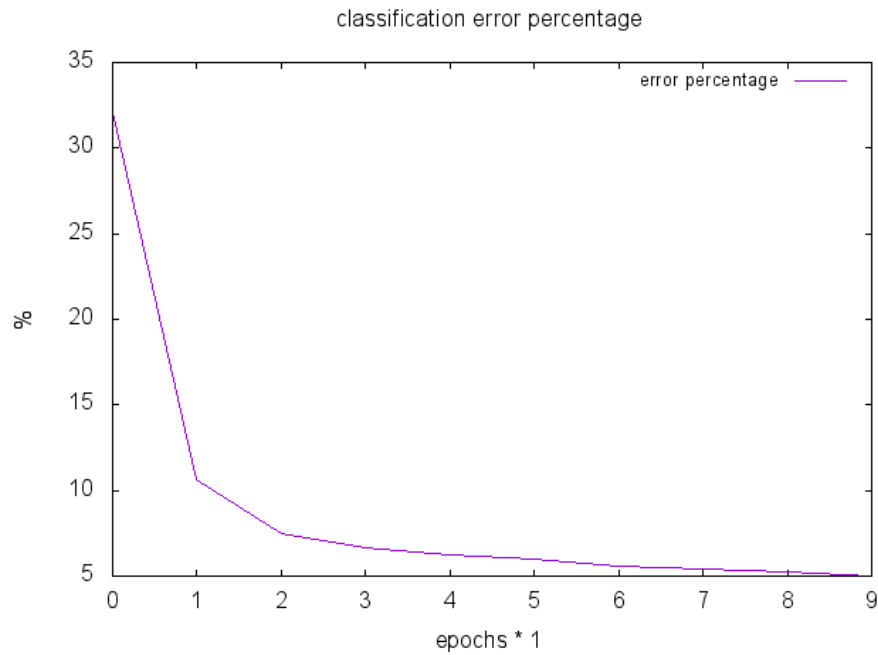
Klasa: 8 TP: 931 FN: 43 FP: 103 TN: 8923

Klasa: 9 TP: 932 FN: 77 FP: 45 TN: 8946

Suma: TP: 9462 FN: 538 FP: 538

Czas uczenia: 657.515s

(P10) Dane jak w P8 ale użyto 150 neuronów w warstwie ukrytej.



Macierz konfuzji dla zbioru testowego:

Klasa: 0 TP: 967 FN: 13 FP: 29 TN: 8991  
Klasa: 1 TP: 1105 FN: 30 FP: 20 TN: 8845  
Klasa: 2 TP: 1005 FN: 27 FP: 60 TN: 8908  
Klasa: 3 TP: 972 FN: 38 FP: 63 TN: 8927  
Klasa: 4 TP: 933 FN: 49 FP: 51 TN: 8967  
Klasa: 5 TP: 863 FN: 29 FP: 28 TN: 9080  
Klasa: 6 TP: 929 FN: 29 FP: 15 TN: 9027  
Klasa: 7 TP: 960 FN: 68 FP: 46 TN: 8926

Klasa: 8 TP: 920 FN: 54 FP: 66 TN: 8960

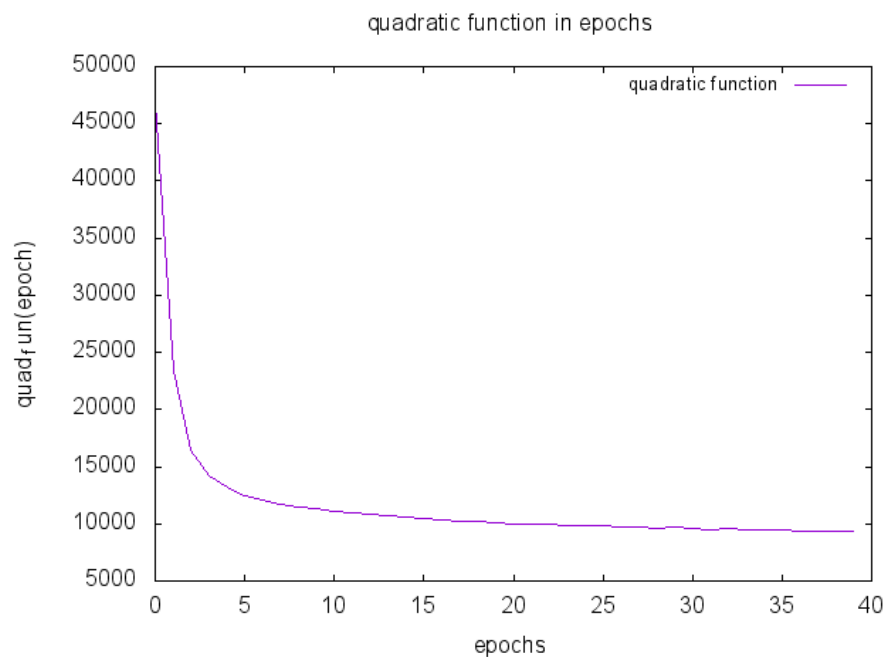
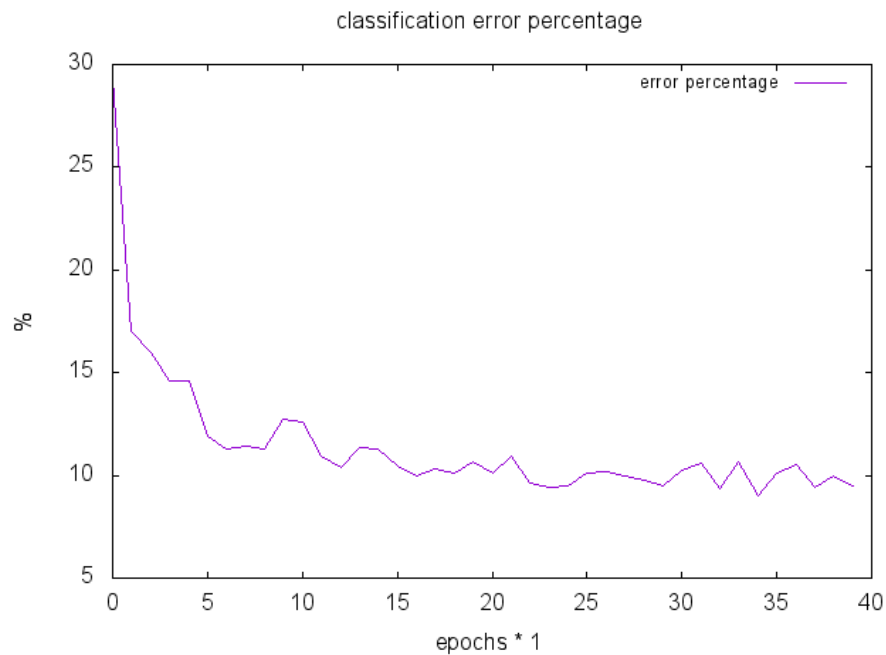
Klasa: 9 TP: 917 FN: 92 FP: 51 TN: 8940

Suma: TP: 9571 FN: 429 FP: 429

Czas uczenia: 62.902s

Czas ekstrakcji cech: 5.224s

(P11) Dane jak w P7 ale użyto do testów danych treningowych.



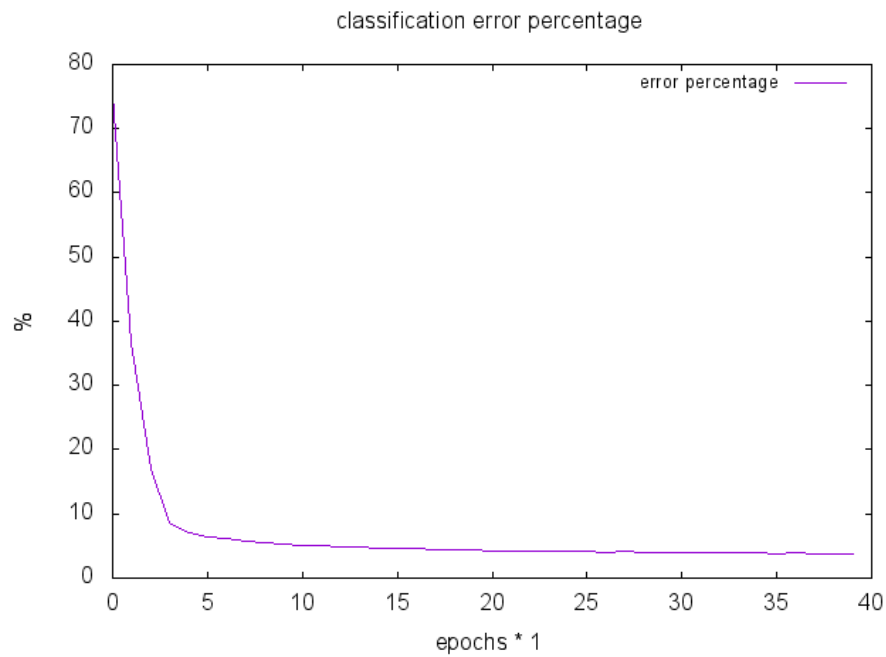
Macierz konfuzji dla zbioru treningowego:

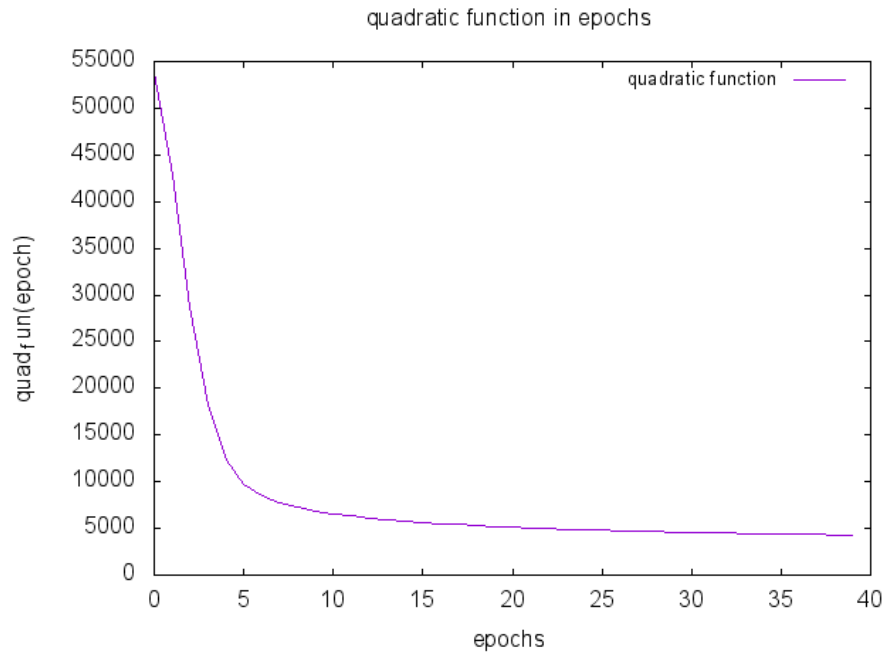
Klasa: 0 TP: 5633 FN: 290 FP: 358 TN: 53719

Klasa: 1 TP: 6270 FN: 472 FP: 215 TN: 53043

Klasa: 2 TP: 5312 FN: 646 FP: 506 TN: 53536  
Klasa: 3 TP: 5551 FN: 580 FP: 873 TN: 52996  
Klasa: 4 TP: 5267 FN: 575 FP: 607 TN: 53551  
Klasa: 5 TP: 4742 FN: 679 FP: 793 TN: 53786  
Klasa: 6 TP: 5508 FN: 410 FP: 318 TN: 53764  
Klasa: 7 TP: 5495 FN: 770 FP: 232 TN: 53503  
Klasa: 8 TP: 5183 FN: 668 FP: 948 TN: 53201  
Klasa: 9 TP: 5335 FN: 614 FP: 854 TN: 53197  
Suma: TP: 54296 FN: 5704 FP: 5704  
Czas uczenia: 217.970s

(P12) Dane jak w P8 ale użyto do testów danych treningowych.





Macierz konfuzji dla zbioru treningowego:

Klasa: 0 TP: 5826 FN: 97 FP: 124 TN: 53953  
 Klasa: 1 TP: 6560 FN: 182 FP: 116 TN: 53142  
 Klasa: 2 TP: 5746 FN: 212 FP: 271 TN: 53771  
 Klasa: 3 TP: 5870 FN: 261 FP: 323 TN: 53546  
 Klasa: 4 TP: 5554 FN: 288 FP: 310 TN: 53848  
 Klasa: 5 TP: 5257 FN: 164 FP: 147 TN: 54432  
 Klasa: 6 TP: 5805 FN: 113 FP: 139 TN: 53943  
 Klasa: 7 TP: 5978 FN: 287 FP: 277 TN: 53458  
 Klasa: 8 TP: 5504 FN: 347 FP: 338 TN: 53811  
 Klasa: 9 TP: 5604 FN: 345 FP: 251 TN: 53800  
 Suma: TP: 57704 FN: 2296 FP: 2296  
 Czas uczenia: 33.209s  
 Czas ekstrakcji cech: 5.573s

(P13) Drzewo decyzyjne Apache Spark. Dane wejściowe: maxDepth = 15, maxBins = 256, impurity = "gini"

Macierz konfuzji dla zbioru testowego:

Klasa: 0 TP: 922 FN: 58 FP: 81 TN: 8939  
 Klasa: 1 TP: 1084 FN: 51 FP: 49 TN: 8816  
 Klasa: 2 TP: 920 FN: 112 FP: 115 TN: 8853  
 Klasa: 3 TP: 897 FN: 113 FP: 171 TN: 8819  
 Klasa: 4 TP: 846 FN: 136 FP: 110 TN: 8908  
 Klasa: 5 TP: 773 FN: 119 FP: 89 TN: 9019  
 Klasa: 6 TP: 882 FN: 76 FP: 85 TN: 8957  
 Klasa: 7 TP: 889 FN: 139 FP: 83 TN: 8889  
 Klasa: 8 TP: 815 FN: 159 FP: 170 TN: 8856



Klasa: 9 TP: 876 FN: 133 FP: 143 TN: 8848

Suma: TP: 8904 FN: 1096 FP: 1096

Czas uczenia: 64.862s

Błąd drzewa decyzyjnego: 0.1096

Ilość węzłów: 4083

## 5. Dyskusja i wnioski

### 5.1. Część badawcza 1

Dwie pierwsze badane konfiguracje P1 oraz P2 miały odpowiedzieć na pytanie w jaki sposób parametry perceptronu wpływają na jakość procesu uczenia. Na podstawie wyników można łatwo stwierdzić, że małe wartości learning rate dają lepsze wyniki. Przyczyną tego jest dość duża ilość danych testowych - w jednej epoce przez perceptron propagowane jest wstecz 150 krotek z danymi. Dodatkowo ustawiono dużą liczbę epok: 9000. W przypadku małych wartości learning rate dane były już sklasyfikowane około 3500 epoki.

Konfiguracja P3 miała pokazać wpływ liczby neuronów w warstwie ukrytej na jakość uczenia. Dla zwiększonej do 100 liczby neuronów warstwy ukrytej proces uczenia przebiegał znacznie szybciej w porównaniu do przypadku P1 gdzie zastosowano 12 neuronów. Zwiększenie liczby neuronów pozwala sieci rozbić problem klasyfikacji na bardziej nieliniowe przedziały poprawnych odpowiedzi dla podanych wejść.

Konfiguracja P4 została przeprowadzona tylko na zbiorze treningowym. Pozwala ona zauważyć że w każdym z przypadków nie udaje się poprawnie zakwalifikować jednego kwiatka gatunku iris-versicolor.

Konfiguracje P5 i P6 zostały przeprowadzone na drzewie decyzyjnym. Przypadek P5 pokazuje że algorytm dla tego zbioru danych radzi sobie równie sprawnie co perceptron oraz szybciej uzyskuje wyniki. Dodatkowo w przypadku działania tylko na zbiorze testowym drzewo poprawnie klasyfikuje wszystkie dane.

### 5.2. Część badawcza 1

Konfiguracja P7 miała na celu sprawdzenie jakości uczenia dla dość małej liczby neuronów w warstwie ukrytej gdzie zastosowano ich 15. Nauka trwa aż do osiągnięcia progu błędu klasyfikacji na poziomie 8% w 18 epoce po czym następują jedynie niewielkie wahania aż do 40 epoki.

W przykładzie P8 pokazano że zastosowanie ekstrakcji cech na zbiorze danych pozwala znacznie poprawić jakość procesu uczenia oraz szybkość całego procesu. Błąd klasyfikacji szybko osiąga 5% po czym utrzymuje tę wartość bez wahań. Również czas całego procesu jest prawie pięciokrotnie krótszy, po ekstrakcji cech mamy jedynie 81 danych wejściowych w jednej krotce zamiast 784.

Przykłady P9 i P10 pokazują że zwiększenie liczby neuronów pozwala poprawić jakość uczenia jednak zmiany te są bardziej znaczące niż w przypadkach z irysami. Podobnie jak w przykładzie P8 zastosowanie HOG pozwala poprawić

wyniki jeszcze bardziej.

Wyniki z przykłady P11 i P12 są bardzo podobne do P7 i P8 mimo że do testów użyto zbioru treningowego. Zastosowanie tych samych danych w testach nie poprawiło znacząco wyników prezentowanych w macierzach konfuzji.

Użycie drzewa decyzyjnego to tego typu problemu nie jest już tak efektywne jak w przypadku irysów. W przykładzie P13 uzyskano błąd klasyfikacji ponad 10% co jest dobrym wynikiem jednak jest to wynik gorszy od wyniku perceptronu.

## Literatura

- [1] Yann LeCun, Corinna Cortes and Chris Burges *MNIST handwritten digit database*
- [2] UCI Machine Learning Repository *Iris Data Set*